

# PGF5103 Atividade 1

M. Monalisa Melo Paulino

9 de maio de 2024

## Abstract

Em um experimento com o intuito de medir a correlação angular, utiliza-se simultaneamente a *contagem* de duas partículas proveniente de dois detectores diferentes (A e B), em função do *ângulo* entre elas em um mesmo instante. Neste trabalho os resultados experimentais são simulações de um experimento real de correlação angular. Os dados experimentais consistem no conjunto  $\{(\theta_i, y_i, \sigma_i), i = 1, \dots, N\}$ . Sendo  $\theta_i$  o ângulo entre os detectores,  $y_i$  a contagem de partículas e  $\sigma_i$  a incerteza da contagem. Para esta atividade foram utilizados os dados do arquivo *dadosAtividade1.dat* disponibilizado no site da disciplina. Foi realizado um ajuste por Métodos dos Mínimos Quadrados por meio de uma função modelo  $y(\theta; \vec{b})$  com parâmetros  $\vec{b} = (b_0, b_2, b_4)$ . Em seguida, calculou-se os coeficientes da expansão dessa função em uma outra função  $y(\theta; \vec{a})$  por meio da regra de transformação  $\vec{a} = C\vec{b}$ . Por fim, determinou-se a matriz de covariância de  $\vec{a}$ , bem como sua função, obtendo os mesmos valores interpolados que para  $y(\theta; \vec{b})$ . Além disso, obteve-se a matriz de covariância para  $V_{\vec{a}}$ , calculada pela transformação de variáveis, idêntica à matriz de covariância para  $V_{\vec{b}}$  obtida por MMQ, bem como para os valores para  $\vec{a}$ .

## 1 Introdução teórica

Para determinar a correlação angular entre dois detectores A e B, utiliza-se uma *função modelo de medição de contagens* (número de eventos) de detecção de duas partículas produzidas simultaneamente, uma em cada um dos detectores, ver Fig.1, considerando um conjunto de dados  $\{(\theta_i, y_i, \sigma_i)\}$  dada por

$$y(\theta; \vec{b}) = b_0 + b_2 \cos^2 \theta + b_4 \cos^4 \theta, \quad (1)$$

em que  $\vec{b}$  são os parâmetros a serem ajustados,  $\sigma_i$  o desvio-padrão de  $y_i$  medido e  $\theta_i$  o menor ângulo entre os detectores A e B.

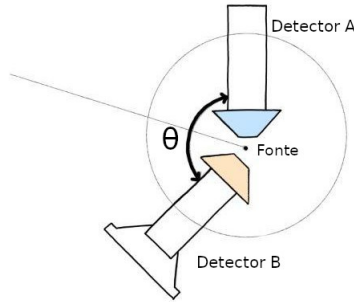


Figure 1: Arranjo de dois detetores para medida de correlação angular. O detetor A é mantido fixo, enquanto B é móvel.

A função modelo também pode ser escrita pela expansão em termos de  $\sum_{\kappa} a_{\kappa} P(\cos \theta)$  tal que,

$$y(\theta; \vec{a}) = a_0 + a_2 P_2(\cos \theta) + a_4 P_4(\cos \theta), \quad (2)$$

onde  $P_\kappa$  são os polinômios de Legendre e,

$$P_2(\cos \theta) = \frac{1}{2} (3 \cos^2 \theta - 1) \quad (3)$$

$$P_4(\cos \theta) = \frac{1}{8} (35 \cos^4 \theta - 30 \cos^2 \theta + 3) \quad (4)$$

Por meio da comparação entre Eq.(2) e Eq.(2) podemos determinar os coeficientes  $\vec{b}$  em função de  $a_0, a_2$  e  $a_4$ . Utilizando formalismo matricial

$$\left. \begin{array}{l} \vec{b} = B \vec{a} \\ \vec{a} = C \vec{b} \end{array} \right\} \Rightarrow C = B^{-1}, \quad (5)$$

em que  $B$  e  $C$  são matrizes de transformação, sendo  $C$  a matriz inversa de  $B$ .

### 1.1 Interpolação para vários ângulos

Pode-se ainda, interpolar valores para vários ângulos. Seja um conjunto  $\varphi = \{\varphi_j, j = 1, \dots, M\}$ , utilizando as fórmulas modelos  $y(\theta; \vec{b})$  ou  $y(\theta; \vec{a})$  podemos obter os valores interpolados e a matriz de covariância para esse conjunto de dados a partir de

$$V_{y(\varphi)} = F V_{b,a} F^T \quad (6)$$

em que  $V_{b,a}$  são as matrizes de covariâncias para  $V_b$  ou para  $V_a$ , a depender da função modelo empregada para a interpolação do conjunto  $\varphi$  e  $F$  é matriz do tipo  $F_{jk} = (\cos \varphi_j)^{2(k-1)}$ .

## 2 Execução da atividade

Neste trabalho foi utilizado a linguagem *Python* para a realização de todas as partes. O código completo foi disponibilizado em anexo na entrega deste documento. Inicialmente foi importado a bibliotecas necessárias para utilizar operações matemáticas e realizar o Método de Mínimos Quadrados. Em seguida, os dados foram preparados. De modo a salvar cada coluna em uma lista. Obtendo, assim, as listas *Theta*, *contagens* e *sigma*, ou seja, os valores simulados do experimento:  $\theta_i$ ,  $y_{exp}$  e  $\sigma_{y_{exp}}$ .

### 3 Ajuste de $y(\theta; \vec{b})$ por MMQ

Os parâmetros  $b_0, b_2$  e  $b_4$  foram obtidos por meio do ajuste do Método dos Mínimos Quadrados. Resultando na Fig.2. E na matriz covariância abaixo.

$$V_b = \begin{pmatrix} 5535.65 & -24517.35 & 20527.21 \\ -24517.35 & 237656.75 & -242065.72 \\ 20527.21 & -242065.72 & 266950.7 \end{pmatrix} \quad (7)$$

Os parâmetros obtidos pelo ajuste foram

Parâmetro	Valor	$\sigma_b$
$b_0$	$6.05082 \cdot 10^3$	$7.4401 \cdot 10^1$
$b_2$	$-6.1404 \cdot 10^2$	$4.875 \cdot 10^2$
$b_4$	$1.0752 \cdot 10^4$	$5.1667 \cdot 10^2$

Table 1

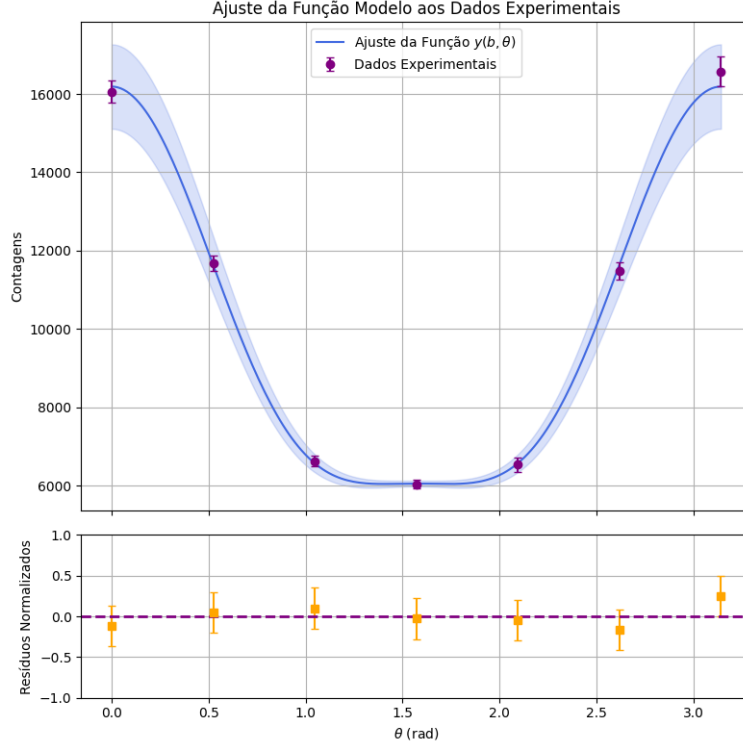


Figure 2: A curva em azul representa o ajuste pelo Método dos Minimos Quadrados  $y(\theta; \vec{b}) = 6051 - 614 \cos^2 \theta + 10752 \cos^4 \theta$ , com  $\chi^2$  absoluto de 1.92 e parâmetros dados pela Tabela 1, matriz de covariância dada por Eq.(7).

Os resíduos normalizados ( $res_{norm}$ ) foi obtido ao dividirmos o resíduo reduzido ( $res_{red}$ ) pelo número de graus de liberdade ( $ngl$ ), Eq.(8). Do gráfico de resíduos é possível verificar que todos se encontram entre -1 e 1, isso sugere que a função modelo  $y(\theta; \vec{b})$  está descrevendo bem a variação nos dados e que possivelmente não há um viés sistemático significativo.

$$res_{norm} = \frac{\frac{contagens_i - y(\theta_i; \vec{b})}{\sigma_i}}{\#contagens - \#parâmetros} \quad (8)$$

O  $\chi^2$  absoluto é uma medida da diferença entre os dados experimentais e a função ajustada, enquanto o  $\chi^2$  reduzido é uma versão normalizada do  $\chi^2$  total que leva em conta o número de graus de liberdade ( $ngl$ ) no sistema. O  $\chi^2_{red}$  para o nosso modelo foi de 0.48. Um bom ajuste é caracterizado por um valor próximo de 1, como o valor obtido foi ligeiramente menor que 0.5 isso sugere que as incertezas dos erros experimentais estão sendo sobrestimadas, ou seja, sendo consideradas maiores do que realmente são, o pode levar a uma confiança exagerada no ajuste do modelo.

## 4 Interpolando valores para vários ângulos

Utilizando os resultados do ajuste da seção anterior para os parâmetros  $\vec{b}$  e para a matriz de covariância  $V_b$  pode-se determinar os valores da função  $y(\varphi; \vec{b})$  para o conjunto  $\varphi = \{20^\circ, 40^\circ, 70^\circ, 85^\circ\}$ , bem como a sua matriz de covariância. Para isso, utilizou-se em Python, a substituição na função modelo dos parâmetros  $b_0$ ,  $b_2$  e  $b_4$  obtendo uma  $y_i$  para cada valor de ângulo  $\varphi_i$ . Além disso, empregando a Eq.(6) foi obtido a matriz de covariância abaixo.

$\varphi$	$y(\varphi; \vec{b})$	$\sigma_y$
20°	13892	92
40°	9393	81
70°	6126	54
85°	6047	72

Table 2

$$V_{\varphi, b} = \begin{pmatrix} 8522.65 & 3033.07 & -302.31 & -133.08 \\ 3033.07 & 6561.70 & 1507.09 & -1544.69 \\ -302.31 & 1507.09 & 2888.55 & 2948.10 \\ -133.08 & -1544.69 & 2948.10 & 5179.05 \end{pmatrix} \quad (9)$$

## 5 Transformação de variáveis utilizando matriz de covariância

Determinou-se os parâmetros  $\vec{a}$  a partir de  $\vec{a} = C \vec{b}$ . Para isso, inicialmente determinou-se a matriz B tal que  $\vec{b} = B \vec{a}$ , ao comparar as duas funções  $y(\theta; \vec{b})$  e  $y(\theta; \vec{a})$ , Eq.(1) e Eq.(2), respectivamente.

$$y(\theta; \vec{b}) = b_0 + b_2 \cos^2 \theta + b_4 \cos^4 \theta \quad (10)$$

$$y(\theta; \vec{a}) = \left( a_0 + -\frac{a_2}{2} + \frac{3}{8}a_4 \right) + \left( \frac{3}{2}a_2 - \frac{30}{8}a_4 \right) \cos^2 \theta + \left( \frac{35}{8} \right) \cos^4 \theta. \quad (11)$$

Assim,

$$B = \begin{pmatrix} 1. & -1/2 & 3/8 \\ 0 & 3/2 & -15/4 \\ 0 & 0 & 35/8 \end{pmatrix} \Rightarrow B^{-1} = C = \begin{pmatrix} 1. & 0.33333333 & 0.2 \\ 0 & 0.66666667 & 0.57142857 \\ 0 & 0 & 0.57142857 \end{pmatrix} \quad (12)$$

Obtendo, dessa forma, os parâmetros  $\vec{a}$  por meio da multiplicação de matrizes  $C$  e  $\vec{b}$ , bem como a matriz de covariância usando  $V_{\vec{a}} = C V_b C^T$ .

$$V_{\vec{a}} = \begin{pmatrix} 2210.54 & 323.01 & -1547.71 \\ 323.01 & 8361.77 & -2019.17 \\ -1547.71 & -2019.17 & 13946.81 \end{pmatrix} \quad (13)$$

Parâmetro	Valor	$\sigma_{\vec{a}}$
$\hat{a}_0$	7997	47
$\hat{a}_2$	5735	91
$\hat{a}_4$	2458	118

Table 3

O ajuste da função  $y(\theta; \vec{a})$  utilizando os parâmetros e a matriz de covariância obtida acima encontra-se na curva vermelha da figura abaixo.

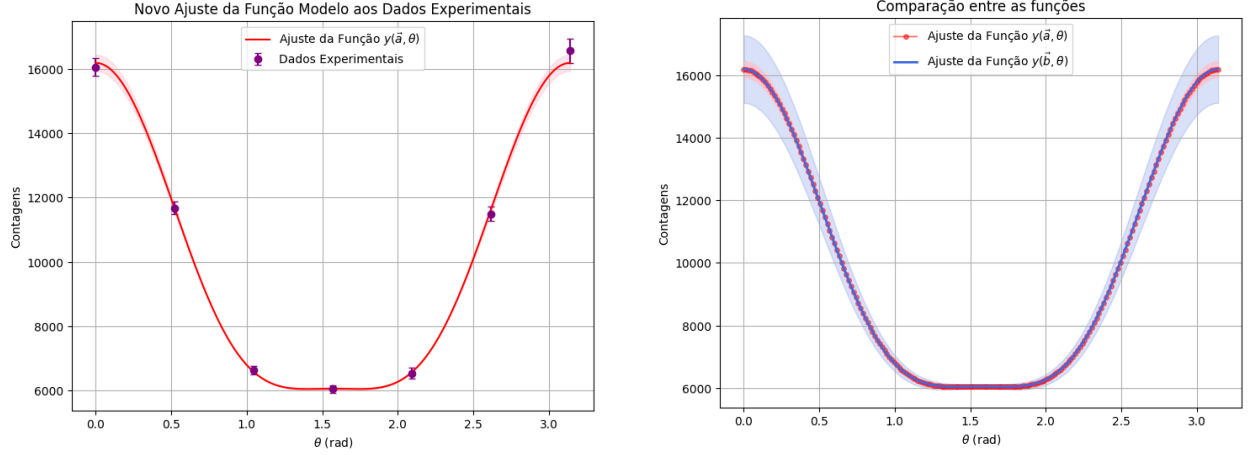
Ambos os ajustes possuem mesmo  $\chi^2$  e mesmo  $\chi^2_{red}$ . A transformação de variáveis não alterou o desempenho do ajuste; entretanto, é perceptível que a matriz de covariância, como esperado, não são iguais.

## 6 Interpolando valores para vários ângulos por meio dos resultados de $\vec{a}$ e $V_{\vec{a}}$

Assim como na Seção 4 foi utilizado o conjunto  $\varphi = \{20^\circ, 40^\circ, 70^\circ, 85^\circ\}$  para determinar os valores da função  $y(\varphi; \vec{a})$  e sua matriz de covariância, utilizando os valores de parâmetros  $\vec{a}$  e matriz de covariância  $V_{\vec{a}}$  obtidos na seção anterior, ou seja

$$V_{\varphi, \vec{a}} = F V_{\vec{a}} F^T, \quad (14)$$

onde a matriz  $F$  pode ser dada pelos termos multiplicadores dos parâmetros de  $\vec{a}$  dentro da função  $y(\varphi; \vec{a})$ , ou seja,



(a) Ajuste da função  $y(\theta; \vec{a}) = 7997 + 5735 P_2(\cos \theta) + 2458 P_4(\cos \theta)$  com  $\chi^2$  de 1.92 e  $\chi_{red}^2$  de 0.48. (b) Comparação entre os ajustes  $y(\theta; \vec{b})$  por MMQ e  $y(\theta; \vec{a})$  por transformação de variáveis.

Figure 3

$$F = \begin{pmatrix} 1 & 3 \cos^2 \varphi_1 - 1/2 & (35 \cos^4 \varphi_1 - 30 \cos^2 \varphi_1 + 3)/8 \\ 1 & 3 \cos^2 \varphi_2 - 1/2 & (35 \cos^4 \varphi_2 - 30 \cos^2 \varphi_2 + 3)/8 \\ 1 & 3 \cos^2 \varphi_3 - 1/2 & (35 \cos^4 \varphi_3 - 30 \cos^2 \varphi_3 + 3)/8 \\ 1 & 3 \cos^2 \varphi_4 - 1/2 & (35 \cos^4 \varphi_4 - 30 \cos^2 \varphi_4 + 3)/8 \end{pmatrix}. \quad (15)$$

Dessa forma, os resultados obtidos foram

$\varphi$	$y(\varphi; \vec{a})$	$\sigma_y$
20°	13892	92
40°	9393	81
70°	6126	54
85°	6047	72

$$V_{\varphi, \hat{a}} = \begin{pmatrix} 8522.65 & 3033.07 & -302.31 & -133.08 \\ 3033.07 & 6561.70 & 1507.09 & -1544.69 \\ -302.31 & 1507.09 & 2888.55 & 2948.10 \\ -133.08 & -1544.69 & 2948.10 & 5179.05 \end{pmatrix}. \quad (16)$$

Table 4

## 7 Compatibilidade entre os resultados

Ao comparar com os resultados da Seção 4 nota-se que foram obtidos os mesmos valores para a interpolação que utilizando  $y(\varphi; \vec{b})$ ,  $\vec{b}$  e  $V_b$ , como o esperado, já que a transformação de matrizes não alterou o desempenho do ajuste como visto nos resultados da Fig. 3.

## 8 Ajustando a função $y(\theta; \vec{a})$ pelo Método dos Mínimos Quadrados

Por meio do ajuste de Método dos Mínimos Quadrados empregado pelo Python, obtemos os valores dos parâmetros  $\vec{a}$  (Tabela 5) e a matriz de covariância  $V_a$ , Eq.(17), bem como o ajuste da Figura 4.

Parâmetro	Valor	$\sigma_a$
$a_0$	$7.9966 \cdot 10^3$	$4.7016 \cdot 10^1$
$a_2$	$5.7348 \cdot 10^3$	$9.1443 \cdot 10^1$
$a_4$	$2.4576 \cdot 10^3$	$1.1810 \cdot 10^2$

Table 5

$$V_a = \begin{pmatrix} 2210.54 & 323.01 & -1547.71 \\ 323.01 & 8361.77 & -2019.17 \\ -1547.71 & -2019.17 & 13946.81 \end{pmatrix} \quad (17)$$

O gráfico da figura a seguir representa o ajuste em verde da função  $y(\theta; \vec{a})$  ajusta pelo Método dos mínimos quadrados, ou seja, com os parâmetros da Tabela 5 e covariância de matriz  $V_a$ , Eq.(17). Bem como o gráfico dos resíduos normalizados na parte inferior da figura.

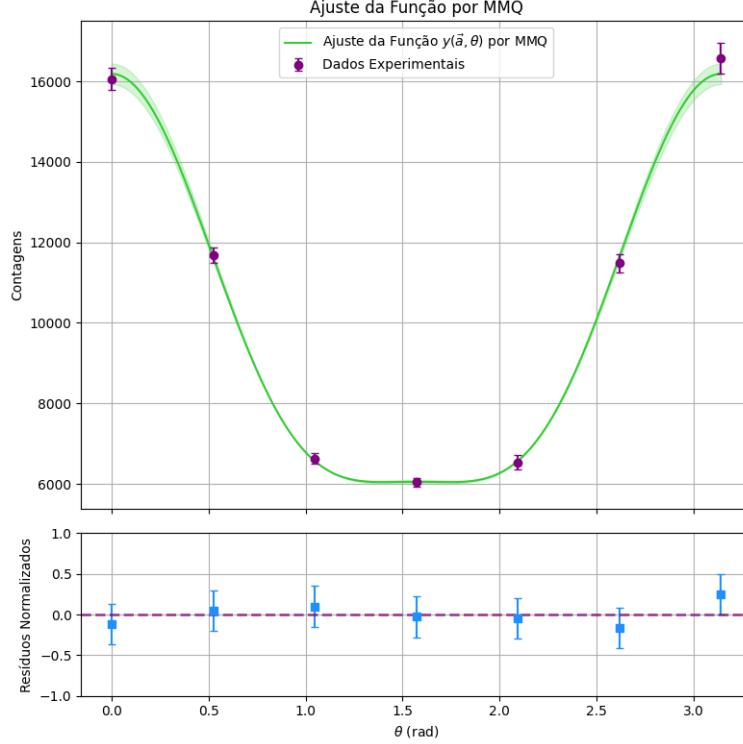


Figure 4: A curva em verde representa o ajuste pelo Método dos Mínimos Quadrados  $y(\theta; \vec{a}) = 7997 + 5735 P_2(\cos \theta) + 2458 P_4(\cos \theta)$ , com  $\chi^2$  absoluto de 1.92 e parâmetros dados pela Tabela 5, matriz de covariância dada por Eq.(17).

O resultado obtido para o  $\chi^2$  absoluto e reduzido foram os mesmos que os obtidos para o ajuste de MMQ da função  $y(\theta; \vec{b})$ , Fig.2 e, novamente, como  $\chi^2_{red} < 0.5$  podemos supor que as incertezas dos dados experimentais estejam sobrestimadas. Além disso, nota-se, assim como para o ajuste  $y(\theta; \vec{b})$ , por meio dos resíduos normalizados que se trata-se de um bom ajuste.

Ao compararmos os valores obtidos para  $\hat{a}_0$ ,  $\hat{a}_2$ ,  $\hat{a}_4$  e  $V_{\hat{a}}$  obtidos pela transformação de variáveis, Tabela 3 e Eq.(13) com os resultados para  $a_0$ ,  $a_2$ ,  $a_4$  e  $V_a$  obtidos pelo Método dos Mínimos Quadrados, Tabela 5 e Eq.(17) vemos que os valores são idênticos. O *Python* encontrou diferença entre os valores dos parâmetros  $\tilde{\vec{a}}$  e  $\vec{a}$  apenas aproximadamente a partir da oitava casa decimal, o que pode estar relacionado aos limites de aproximação do próprio algoritmo.